

مطالعه تابآوری اکوسیستم شهر تهران در برابر آلاینده‌های هوای

* حمید اماده

** مهدی احراری **، محمدعلی قدسی‌باب

چکیده

اکوسیستم شهری تهران توانایی جذب و تصفیه میزان مشخصی از حجم آلاینده‌ها را دارد که همین توانایی نیز روزبه روز در حال کاهش است. در روند رشد اقتصادی هر شهر باید قابلیت‌های اکوسیستمی آن شهر نیز لحاظ شود تا به مشکلات زیست‌محیطی کمتری منجر شود. در این مقاله تلاش م� ارائه و بسط روشی برای اندازه‌گیری تابآوری اکوسیستم شهر تهران در برابر آلاینده‌های واردشده به آن است. برای محاسبه تابآوری از بزرگ‌ترین نمای لیپانوف استفاده شده است، به‌طوری که بزرگ‌ترین نمای لیپانوف مثبت به معنی وجود آشوب و به‌تبع آن کاهش میزان تابآوری سیستم است. اطلاعات استفاده شده در این پژوهش مربوط به شاخص کیفیت هوای (AQI) برای بازه زمانی ۱۳۹۰-۱۳۹۴ و به صورت میانگین روزانه و شامل ۱۸۲۶ داده است. نتایج نشان‌دهنده وجود آشوب در سری زمانی شاخص کیفیت هوای (AQI) است. از نظر تابآوری نیز اکوسیستم تهران در برابر آلاینده‌های واردشده تابآوری پایینی دارد و توان کافی برای مقابله با شوک‌های وارد را ندارد. از این رو، توجه به تابآوری در تصمیم‌گیری‌های اقتصادی و مدیریت شهری بسیار مهم است.

کلیدواژه‌ها: آلودگی هوای رشد اقتصادی، اکوسیستم، آشوب، تابآوری، بزرگ‌ترین نمای لیپانوف.

طبقه‌بندی JEL: Q53, Q54

* استادیار اقتصاد، دانشگاه علامه طباطبائی، amadeh@gmail.com

** دانشجوی دکتری اقتصاد نفت و گاز، گرایش بازارها و مالیه، دانشگاه علامه طباطبائی، meahrari@yahoo.com

*** دانشجوی کارشناسی ارشد، اقتصاد محیط زیست، دانشگاه علامه طباطبائی (نویسنده مسئول)

ma.ghodsi1369@gmail.com

تاریخ دریافت: ۱۳۹۵/۶/۲۵، تاریخ پذیرش: ۱۳۹۵/۹/۵

۱. مقدمه

یکی از بزرگ‌ترین مشکلات کلان‌شهر تهران در سال‌های گذشته و به خصوص دهه اخیر بحث آلودگی هوای آن بوده است. تهران، اصلی‌ترین مرکز اقتصادی ایران و نماد رشد و توسعه کشور، وضعیت مناسبی از لحاظ آلاینده‌های هوا ندارد. گسترش شهرنشینی و توسعه شهرها به‌همراه افزایش شتابان جمعیت و توسعه فعالیت‌های صنعتی با مصرف بی‌رویه سوخت‌های فسیلی به‌شدت آلودگی‌ها را افزایش داده است که عواقب آن در درجه اول به صورت امراض و بیماری‌های تنفسی و تشدید بیماری‌های قلبی و ریوی متوجه ساکنان شهرها می‌شود و در مرحله بعد عاملی در تشدید نوسانات اقلیمی است و تأثیرات زیستمحیطی دارد (Chappelka, 2007).

در حال حاضر، تهران از آلوده‌ترین شهرهای جهان معرفی شده است (Graedel and Crutzen, 1993). تهران بالاترین سهم فعالیت آموزشی، اداری، اجتماعی، و فرهنگی را دارد. با توجه به آمار به‌دست‌آمده درباره بیماری‌های گوناگون و مرگ‌ومیر ناشی از آلودگی، پایتخت ایران بالاترین مرگ‌ومیر را دارد. از طرف دیگر، به‌واسطه آلودگی، بازده نیروی انسانی کاهش داشته و خستگی اعصاب جزئی جدایی‌ناپذیر از زندگی شهروندان تهرانی شده است. یکی از مهم‌ترین تأثیرات آلودگی هوا بر نوسانات اقلیمی تهران و پیامدهای مختلف ناشی از آن است (روشن و همکاران، ۱۳۸۸). در بیش از دویست روز از ایام سال غلظت ذرات معلق آنچنان بالاست که گستره دید کامل را به کمتر از ۵۰۰ متر کاهش می‌دهد. نخستین زنگ خطر جدی درباره آلودگی هوای تهران در سال ۱۳۷۴ به‌صدا درآمد. در آن هنگام نزدیک به ۱۰۰ نفر از کارشناسان و مدرسان حوزه‌های مرتبط محیط زیست، جغرافیا، و شهرسازی در پی نشستی در سالن اجتماعات پارک‌شهر متني موسوم به بیانیه «هوای تهران ۱۳۷۴» را منتشر کردند که در آن برای نخستین بار از آلودگی هوای تهران به‌منزله «بحران ملی»، که راه مقابله با آن «عزم ملی» است، نام برده شد. این بیانیه عمدتاً بر آثار بهداشتی و بیماری‌زای آلودگی هوا تأکید داشت و نویسنده‌گان آن کوشیدند بر این نکته پابفسارند که یکی از عوامل عمدۀ همه‌گیری نگران‌کننده بیماری‌هایی همچون افسردگی، اضطراب، و انواع ناراحتی‌های تنفسی در تهران آلودگی هوا بوده است و این پدیده را می‌بایست از جمله عوامل درخور توجه مرگ‌ومیر در تهران به‌شمار آورد. البته، این بیانیه آنقدر بازتاب نیافت که بتوان تصور کرد همچون مانیفیستی برای همه

فعالیت‌های بعدی مقابله با آلودگی هوا بود که موردنویجه قرار می‌گرفت و آثار زیستمحیطی، اقتصادی، اجتماعی، و فرهنگی (از نظر تأثیری که بر تخریب و رنگ‌باختگی آثار تاریخی، معماری، و فرهنگی دارد) این پدیده فراموش شده است. شاید دلیل این امر این باشد که آماری که سه سال بعد از بیانیه «هوای تهران ۱۳۷۴» از سوی جاییکا (کنسرسیومی از مشاوران بین‌المللی که با محوریت کارشناسان ژاپنی طرح جامع برای کاهش آلودگی هوای تهران را تدوین کردند) منتشر شده بود، بسیار هولانگیز بود: آلودگی هوا سالانه بین ۷ تا ۹ هزار نفر را در تهران می‌کشد! یعنی به‌طور متوسط سالانه هشت هزار نفر و تقریباً هر ساعت یک نفر (بخشی خانیکی، <http://www.mohitesabs.blogsky.com/category/cat-76>).

به گزارش بانک جهانی، ضرر و زیان مالی ناشی از آلودگی هوا در ایران در سال ۲۰۰۱ (۱۳۷۹) حدود ۷ میلیارد دلار ارزیابی و برآورد شد که اگر سیاست‌های تولید و مصرف انرژی در ایران اصلاح نشود ضرر و زیان ناشی از آلودگی هوا از سوی بخش حمل و نقل به $\frac{8}{4}$ میلیارد دلار خواهد رسید. مبلغ $\frac{1}{1}$ میلیارد دلار هزینه‌های جانبی آلودگی هوا براساس محاسبه فوق الذکر و با احتساب هر دلار ۸۶۵ تومان معادل ۹۸۱/۵ میلیارد تومان می‌شود. این رقم دوبرابر کل فصل خدمات درمانی در بودجه ۱۳۸۳ و معادل ۴۱۵ میلیارد تومان است. مقایسه رقم فوق با بودجه‌های درمانی ۱۳۸۳ کشور اهمیت این موضوع را نشان می‌دهد (همان).

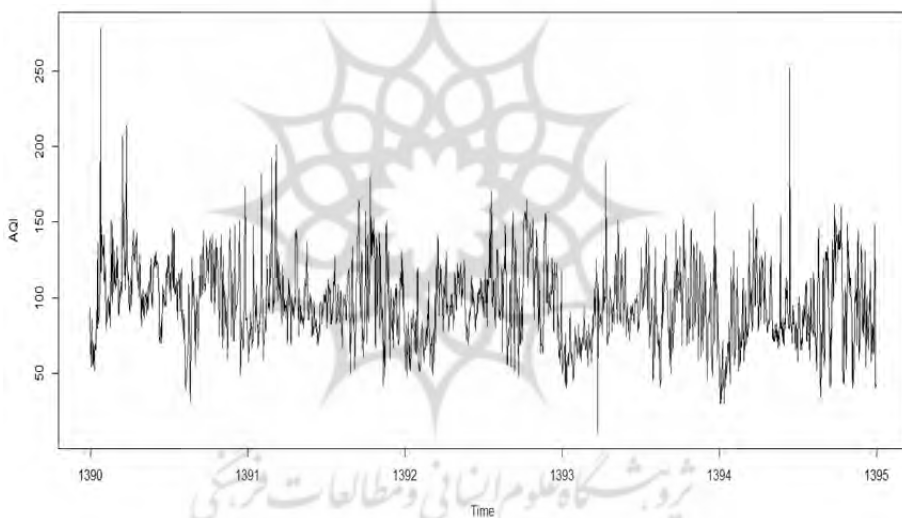
سؤال اصلی ما در این تحقیق بررسی تاب‌آوری اکوسیستم تهران در برابر آلاینده‌های وارد به آن است. این‌که آیا اکوسیستم تهران می‌تواند در برابر این حجم از آلاینده‌ها تاب‌آور باشد و عملکرد اکوسیستمی خود را به خوبی انجام دهد؟ به این منظور ابتدا درباره مفهوم تاب‌آوری بحث و بررسی می‌شود و پس از آن با استفاده از بزرگ‌ترین نمای لیپانوف به سنجش و محاسبه تاب‌آوری پرداخته شده است. برای این منظور از اطلاعات ۵ ساله (۱۳۹۰-۱۳۹۴) مربوط به شاخص کیفیت هوا (air quality index) استفاده شده که شامل ۱۸۲۶ داده است و به صورت میانگین روزانه‌اند.

پژوهش حاضر یکی از اولین مطالعات مربوط به تاب‌آوری با استفاده از نمای لیپانوف در ایران است. در سطح بین‌المللی نیز مطالعات تاب‌آوری با این شیوه بسیار نادر است و از آن جایی که در تحقیقات پیشین به صورت مشخص به بحث اندازه‌گیری و سنجش تاب‌آوری با استفاده از نمای لیپانوف برای مباحث زیست محیطی پرداخته نشده، پژوهش

حاضر از مجموعه‌ای از مطالعات مربوط به مسائل زیست محیطی و مقالات مربوط به سنجش آشوب بهره برده است.

۲. داده‌ها و اطلاعات

اطلاعات مود نیاز از وبسایت شرکت کنترل کیفیت هوای شهر تهران دریافت شده است. بازه زمانی مورد مطالعه از ۱۳۹۰/۱/۱ تا ۱۳۹۴/۱۲/۲۹ است. این داده‌ها به صورت میانگین روزانه شاخص کیفیت هوای شامل ۱۸۲۶ داده (روز) است.

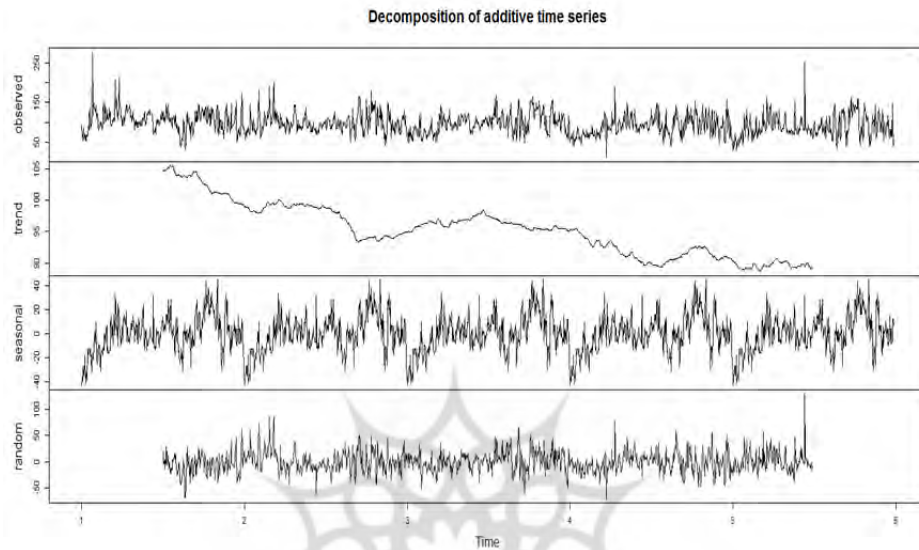


شکل ۱. شاخص کیفیت هوای برای بازه زمانی ۱۳۹۰-۱۳۹۴

مأخذ: شرکت کنترل کیفیت هوای شهر تهران

از آنجایی که ممکن است رفتارهای فصلی مربوط به انتشار آلاینده‌ها روی مقادیر محاسبه شده اثرگذار باشد و باعث گمراهی محققان شود، بدین منظور با استفاده از دو روش روند خطی موجود از سری زمانی جدا شده و محاسبات روی پسمندی‌های حاصل انجام شده است.

در روش اول سری زمانی با استفاده از دستور DECOMPSE در نرم‌افزار R به ۳ بخش روند، تأثیر فصلی، و بخش پسمند (تصادفی) تجزیه و بزرگ‌ترین نمای لیپانوف برای بخش روند و پسمند محاسبه شد تا تأثیر روندهای فصلی از محاسبات خارج شود.



شکل ۲. سری زمانی شاخص کیفیت هوا (AQI) و بخش های روند، فصلی، و تصادفی

مأخذ: یافته های تحقیق

در روش دوم مانایی سری زمانی موجود با استفاده از آماره دیکی - فولر تعیین یافته (ADF) بررسی شد. سری زمانی مورد مطالعه مانا بوده و مدل ARMA(4,1) انتخاب شد. در این روش نیز محاسبات بر روی پسمند حاصل انجام شده است تا از درستی محاسبات اطمینان حاصل شود.

۳. مبانی نظری و مروری بر مطالعات گذشته

برای سنجش وضعیت هوا از شاخص کیفیت هوا (AQI) استفاده می شود. این شاخص براساس میزان انتشار ۶ آلاینده محاسبه می شود. در جدول زیر نحوه طبقه بندی کیفیت هوا با توجه به میزان این شاخص نشان داده شده است.

جدول ۱. شاخص کیفیت هوا (AQI) و رنگ های مربوط به هر گروه

رنگ مشخص کننده	کیفیت هوا	مقدار
سبز	پاک	۵۰-۰
زرد	متوسط (سالم)	۱۰۰-۵۱

۲۶ مطالعه تابآوری اکوسیستم شهر تهران در برابر آلاینده‌های هوا

نارنجی	ناسالم برای گروههای حساس	۱۵۰-۱۰۱
قرمز	ناسالم	۲۰۰-۱۵۱
بنفش	بسیار ناسالم	۳۰۰-۲۰۱
قهوه‌ای	خطرناک	۵۰۰-۳۰۱

مأخذ: گزارش‌های سالیانه کیفیت هوای شهر تهران، سازمان کنترل کیفیت هوای شهر تهران.

براساس گزارش کیفیت هوای تهران، طی سال‌های ۱۳۹۰ تا ۱۳۹۴، تعداد روزهای پاک در تهران در یک سال از لحاظ شاخص کیفیت هوای بیش از ۲۵ روز نرسیده و اصلی ترین عامل آلودگی هوای در این ۵ سال ذرات معلق بوده است.

بنابراین هوای پاک برای تهران بسیار ارزشمند است. از آنجایی که هوای جزء کالاهای عمومی است، پس برای آن بازاری وجود ندارد و نمی‌توان آن را قیمت گذاری کرد. در این موقع در اقتصاد محیط زیست بحث ارزش‌گذاری مطرح می‌شود و اولین قدم در بحث ارزش‌گذاری بررسی ظرفیت اکوسیستم تهران در مقابل این آلاینده‌هاست.

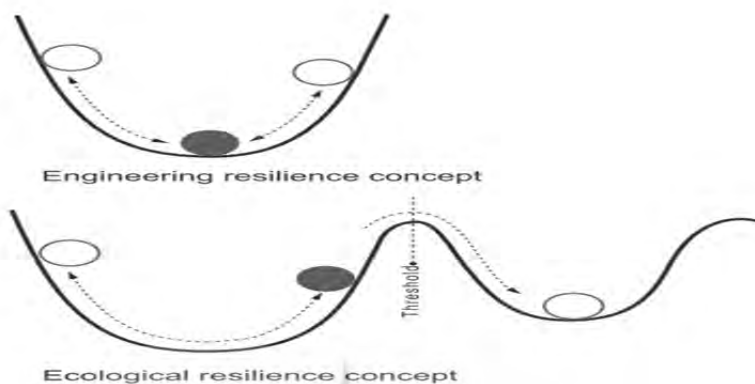
مفهوم تابآوری عمدتاً بر این فرضیه بنا شده که حالات مختلف سیستم شامل نقاط تعادل گوناگون است. به عبارت دیگر، فرض می‌شود که تکامل سیستم‌ها (اقتصادی، زیستمحیطی، و غیره) با جایه‌جایی این سیستم‌ها از یک حالت تعادل (یا دامنهٔ پایداری) به حالت تعادل دیگر انجام می‌شود.

در این زمینه دو راه مختلف برای تعریف تابآوری در پیش گرفته می‌شود:

۱. تعریف پرینگ: این تعریف به خواص سیستم حول تعادل پایدار برمی‌گردد که عمدتاً برگرفته از تعریف پیم (Perrings, 1994) است که تابآوری سیستم را اندازه گیری سرعت بازگشت سیستم به حالت تعادل می‌داند (پیم، ۱۹۸۴؛ Perrings, 1994).

۲. تعریف هولینگ: این تعریف به میزان اختلالی (شوک) اشاره دارد که یک سیستم می‌تواند قبل از حرکت از یک حالت به حالت دیگر جذب کند (Holling, 1992).

هولینگ نوع دیگری از تقسیم‌بندی را نیز ارائه کرده که از دو تعریف قبل کاربردی تر است. او در مقالهٔ خود (Holling, 1996) تابآوری را به تابآوری مهندسی (engineering resilience) و تابآوری زیستمحیطی (ecological resilience) تقسیم‌بندی می‌کند.



شکل ۳. تابآوری مهندسی و زیستمحیطی

مأخذ: Liao et al., 2012

برای تبیین این مدل از شکل ۳ استفاده می شود که در آن توب نماد سیستم، سطحی که توب روی آن قرار دارد بیان گر حالت (محیط و فضایی که سیستم در آن است)، و بخش U شکل هم بیان گر دامنه پایداری سیستم است. نکته اصلی در تعریف تابآوری مهندسی قرارگرفتن سیستم در (یا نزدیک) یک نقطه تعادل کلی است. در این مدل تابآوری مهندسی رابطه ای معنادار با شبیب بخش U شکل خواهد داشت. در طرف دیگر تابآوری زیستمحیطی بیان کننده این است که برای یک سیستم می تواند دو یا چند نقطه تعادل وجود داشته باشد (منظور از نقطه تعادل بخش زیرین قسمت U شکل است که در صورت افتادن توب در آن توب پس از نوسان در قسمت زیرین ساکن می شود). در اینجا فرض می شود که سیستم پویاست و توب مدام در حال حرکت است و یک اختلال (شوک) باعث خواهد شد توب در دامنه خود نوسان کند و یا به دامنه دیگر منتقل شود و در آنجا نوسان کند. اندازه گیری تابآوری زیستمحیطی نیازمند تعداد بیشتری متغیر و داشتن اطلاعات بیشتر از وضعیت سیستم است .(Walker et al., 2004; Desjardins et al., 2015)

بررسی و محاسبه تابآوری زیستمحیطی به دلیل وجود متغیرهای فراوان، که در رفتار آن دخیل‌اند، به مرتبه دشوارتر از بررسی و محاسبه تابآوری مهندسی است.

حقوقان حوزه تابآوری معتقدند به طور کلی دو عامل در تابآوری سیستم‌ها مؤثرند

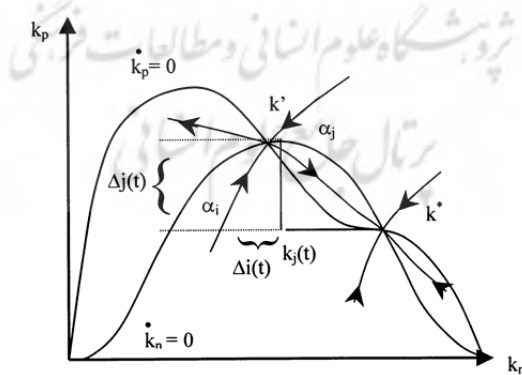
: (Perrings, 2006)

۲۸ مطالعه تابآوری اکوسیستم شهر تهران در برابر آلاینده‌های هوا

۱. ظرفیت انعطاف‌پذیری (adaptive capacity): عمدتاً به نبود تجانس و ناسازگاری موجود در یک سیستم مربوط می‌شود (به عبارتی به تنوع نهادها و سرمایه‌های موجود در یک سیستم اجتماعی اشاره دارد) (Carpenter et al., 2001; Bengtsson et al., 2003).
۲. مقاومت (robustness): به آن دسته از ویژگی‌های سیستم اشاره می‌کند که به سیستم اجازه می‌دهد در مقابل شوک‌های وارده، بدون دخالت خارجی، رفتار تطبیقی مناسب را انجام دهد (Webb and Levin, 2005).

در شکل ۴ $K_p(t)$ و $K_n(t)$ متغیرهای حالت‌اند، درحالی که k^* نشان‌دهنده نقطه تعادل است که با یک مخروط جاذب با مختصات $i \propto$ و $j \propto$... احاطه شده است. از این شکل می‌توانیم بلafاصله یک عنصر جالب را، که معرف تفاوت تعاریف تابآوری و تعریف معمول پایداری است، تشخیص دهیم و آن این که «اندازه‌گیری تابآوری در همان سیستم می‌تواند با تغییر جهت اختلال تغییر یابد». اجازه دهید در اینجا به تعریف پرینگ (۱۹۹۴) توجه کنیم:

تابآوری یک سیستم در بعضی نقاط در مخروط تعادل پایدار موضعی؛ k^* نسبت به تغییر در هریک از متغیرهای حالت آن سیستم؛ عبارت است از حداکثر اختلالی که آن متغیرها می‌توانند بدون آن که باعث شوند سیستم همسایگی $-j \propto$ را ترک کند؛ تحمل کند (رجیانی و همکاران، ۲۰۰۲).



شکل ۴. اندازه‌گیری تابآوری سیستم بر اساس نظر هولینگ

مأخذ: Perrings, 1994

اندازه‌گیری تابآوری سیستم در جهت i یا زبرابر است با $i - K_i(t) \propto$ و $j - K_j(t) \propto$ ؛ این بدین معنی است که:

الف) نقطه‌ای از سیستم که در نزدیکی مرز مخروط جاذب قرار دارد تابآوری کمتری از نقطه‌ای در نزدیکی نقطه تعادل دارد؛

ب) تابآوری برای جهت‌های مختلف اختلال متفاوت است؛

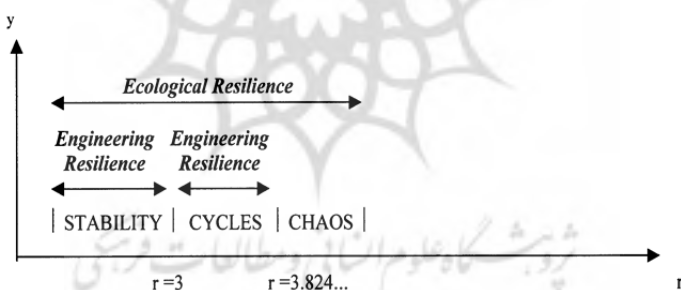
ج) اگر سیستم براثر مقداری اختلال تابآوری از دست بدهد (یعنی $i - Ki(t) \propto$ منفی باشد)، درنتیجه سیستم از یک مخروط جاذب به مخروط جاذب دیگر از مجرای $i \propto$ جابه‌جا خواهد شد (یعنی 'K در شکل ۲) (رجیانی و همکاران، ۲۰۰۲).

اجازه دهید در اینجا برای مثال به معادله شناخته شده لجستیک و رهولست در فضای

گستته توجه کنیم:

$$y(t+1) = ry(t)(1 - y(t))$$

با تحلیل فازی-فضایی مربوطه (y نسبت به r) کاملاً واضح است که برای مقادیر $3 < r < 3.824$ معادله لجستیک قبل از رسیدن به زمان شوک در $r = 3.824$ شروع به نوسان می‌کند.



شکل ۵. تابآوری زیست‌محیطی و مهندسی برای معادله لجستیک در حالت گستته مأخذ: همان.

تابآوری مهندسی تعریف شده در بالا را می‌توان با دوره پایداری و دوره نوسانات برای تاب لجستیک تجزیه و تحلیل کرد. اما علاوه بر دو دوره مذکور، برای سیستم زیست‌محیطی می‌توان در دوره آشوب نیز خواص سیستم برای پافشاری یعنی ظرفیت آن برای جذب امواج سهمگین نوسانات را منعکس کرد.

حال می‌توانیم تفاسیر مفهوم تابآوری را با استفاده از معادله لجستیک گستته بهمنزله مثالی قوى مرور کنیم (شکل ۵). اما چگونه می‌توان ظرفیت یک سیستم را که در برابر / یا نمایش گر این ناحیه چندتعادلی (یعنی دامنه تابآوری) قرار می‌گیرد قبل از تغییر ساختارش اندازه‌گیری کرد؟ واضح است که برای تحلیل تابآوری سیستم‌های پویای با ابعاد بزرگ یا

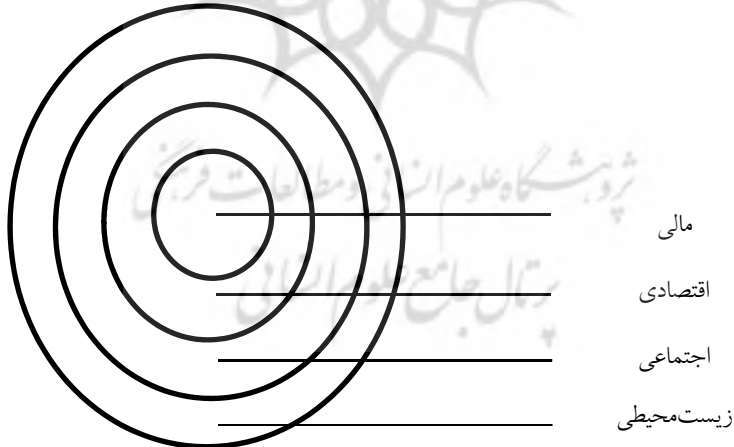
۳۰ مطالعه تابآوری اکوسیستم شهر تهران در برابر آلاینده‌های هوا

شبکه‌هایی با تعداد توالی پارامتر، که اصطلاحاً «پیچیده» نامیده می‌شوند، به خصوص در مطالعات تجربی مشکلاتی رخ خواهد داد (همان).

روشن است که از نقطه‌نظر تجربی در به کارگیری روش هولینگ برای اندازه‌گیری تابآوری مشکلاتی ظاهر می‌شود. برای مثال، چگونه می‌توان اندازه مخروط جاذب را اندازه‌گیری کرد؟ پرینگ برای این کار نمای لیپانوف را مطرح کرده که در نوع خود بسیار مهم است. اگرچه در این زمینه تعریف پیم عملی تر است، اما باید توجه داشت که موضوع اندازه‌گیری تابآوری به خصوصات اقتصادی-اجتماعی همچنان بسیار مشکل است و به توجه بیشتری نیاز دارد (همان).

برای نشان‌دادن اهمیت بررسی تابآوری در حوزه‌های مختلف شکل ۶ ارائه شده است. سیستم‌های اجتماعی و اقتصادی را نمی‌توان به منزله مجموعه‌ای جدا از سیستم زیست‌محیطی دانست (Greenham et al., 2013).

بنابراین بررسی تابآوری زیست‌محیطی را می‌توان قدمی برای رسیدن به بررسی تابآوری در حوزه‌های اقتصادی و مالی دانست.



شکل ۶. رابطه تابآوری در حوزه‌های مختلف با هم

مأخذ: *ibid*

درادامه برای اندازه‌گیری تابآوری مهندسی از نمای لیپانوف استفاده شده است. اندازه‌گیری تابآوری مهندسی قدم اول در راستای اندازه‌گیری تابآوری زیست‌محیطی است. در این مقاله این مهم با استفاده از اطلاعات شاخص کیفیت هوای (AQI) محاسبه شده

است. با محاسبه بزرگ‌ترین نمای لیپانوف می‌توان روند غیر تاب‌آور (نایابدار) در زمینه تاب‌آوری مهندسی را نشان داد. بنابراین مثبت‌بودن نمای لیپانوف^۱ به معنای تاب‌آور نبودن سیستم در برابر شوک‌های وارد به آن تلقی می‌شود.

ابريشمی و همکاران (۱۳۸۱) وجود آشوب در سری زمانی قیمت‌های آتی نفت «۱۹۹۶-۱۹۹۹» را بررسی کردند. بدین منظور از دو روش تخمین بعد همبستگی (CD) و بزرگ‌ترین نمای لیپانوف (LLE) برای اثبات وجود آشوب و از تحلیل R/S یا نمای هرست (HE) برای تشخیص غیرتصادفی بودن سری استفاده شد. به این ترتیب، فرضیه غیرتصادفی و غیرخطی بودن ساختار سری زمانی قیمت‌های آتی نفت مورد آزمون قرار گرفت. به عبارت دیگر، بررسی شد که آیا می‌توان مدل غیرخطی دینامیکی را برای سری زمانی قیمت‌های آتی نفت پیش‌نهاد کرد تا به تبع آن بتوان پیش‌بینی تعیینی دقیق و صحیحی را برآورد کرد.

مشیری و فروتن (۱۳۸۳) وجود آشوب در ساختار سیستم مولد قیمت نفت خام شاخص WTI را در بازه زمانی ۱۹۸۳-۲۰۰۳ بررسی کردند. بدین منظور آن‌ها از نمای لیپانوف و بعد همبستگی به منزله آزمون‌های مستقیم آشوب و آزمون‌های BDS و شبکه عصبی به منظور مطالعه غیرخطی بودن این ساختار استفاده کرده‌اند. نمای لیپانوف به دست آمده مثبت بوده و مقدار بعد همبستگی حاصل نیز حدود ۰/۵ بوده است که این دو نشان‌دهنده آشوب در این سری زمانی‌اند.

مشیری و مروت (۱۳۸۴) در مقاله‌ای به بررسی وجود آشوب در شاخص‌های بازدهی روزانه و هفتگی قیمت سهام بازار بورس تهران (TEPIX) در بازه زمانی ۱۳۸۲-۱۳۷۷ پرداختند. نتایج آزمون بزرگ‌ترین نمای لیپانوف، که آزمون مستقیمی برای فرایندهای غیرخطی معین است، بر وجود آشوب در شاخص‌های بازدهی قیمت کل سهام بازار بورس تهران دلالت دارد. این نتیجه بر ناکارآیی بازار سهام و درنتیجه قابلیت پیش‌بینی کوتاه‌مدت آن دلالت دارد که می‌تواند رهنمودی سیاستی مبنی بر شناخت عوامل ناکارآیی بازار مانند شفاف‌بودن جریان اطلاعات و اقدام در جهت رفع آن‌ها داشته باشد. هم‌چنین، برای مدل‌سازی، به ویژه پیش‌بینی شاخص قیمت‌های سهام، استفاده از مدل‌های غیرخطی به جای مدل‌های معمول خطی مناسب‌تر است.

معینی و همکاران (۱۳۸۵) در مقاله‌ای به بررسی آشوب‌ناکی سری زمانی قیمت نفت در سال‌های ۱۹۹۸-۲۰۰۰ پرداخته‌اند و پس از آن برای پیش‌بینی قیمت نفت از ترکیب نمای لیپانوف با تابع لجستیک بهره برده‌اند و مقدار نمای لیپانوف را ۱/۲۵ به دست آورده‌اند.

قاهری و همکاران (۱۳۹۱) در مقاله خود به بررسی آشوب‌ناکی جریان آب رودخانه اهرچای (بازه زمانی ۱۹ ساله) پرداخته‌اند. زمان تأخیر و بعد محاط محاسبه شده به ترتیب ۶۵ و ۱۳ و بعد فراکتالی نیز ۴ بوده است. نتایج آن‌ها نشان‌دهنده دقت مناسب نظریه آشوب در پیش‌بینی جریان آب این رودخانه است.

rstemi و همکاران (۱۳۹۰) در مقاله‌ای به بررسی رفتار قیمت سهام شرکت‌های پذیرفته شده در بورس تهران با تئوری آشوب پرداختند. آن‌ها اطلاعات ۳۱ شرکت برای بازه زمانی ۱۳۸۸-۱۳۸۰ را مطالعه کردند و نمای لیپانوف را با دو روش روزن اشتاین و تیلور تخمین زدند که هر ۲ روش تأییدکننده وجود آشوب بوده‌اند.

پریور و همکاران (۱۳۹۲) در مقاله‌ای بسط راهبردهای پایداری اکولوژیک برای افزایش تاب آوری محیط‌زیست را برای مناطق شهری ۱ و ۳ تهران بررسی کردند. آن‌ها از مدل مفهومی البرتی و همکارانش بهره برdenد. نتایج آن‌ها نشان‌دهنده این است که در مدت ۲۲ سال فضای سبز ۱۴۱۲ هکتار کاهش یافته است و در مقابل اراضی ساخته شده ۲۴۳۵ هکتار افزایش یافته است.

پریور و همکاران (۱۳۹۱) در مقاله‌ای به بررسی چهارچوب ارزیابی راهبردی محیط‌زیستی طرح‌های توسعه شهری براساس تفکر تاب آوری پرداختند. نتایج آن‌ها نشان داد که چهارچوب‌هایی که تاکنون به کار گرفته شده است، برای تحلیل سیستم‌های پیچیده اجتماعی اکولوژیکی به‌ویژه شهرها کارآیی لازم را ندارد. از این‌رو، ضرورت دارد از رویکردهای نوین مانند تفکر تاب آوری و اکولوژی شهری در ارزیابی راهبردی محیط‌زیستی برای برآورد اهداف توسعه پایدار و کاهش عدم قطعیت استفاده شود. درنهایت آن‌ها چهارچوبی سه مرحله‌ای پیش‌نهاد می‌کنند که در مرحله اول این چهارچوب تاب آوری عمومی بستر محیط‌زیست شهری به صورت کلی از طریق معیارهای سنجش تاب آوری عمومی ارزیابی می‌شود. مرحله دوم سنجش تاب آوری بستر نسبت به طرح توسعه پیش‌نهادی است و مرحله سوم عبارت است از بسط مدیریت تطبیقی برای فراهم‌آوردن سیستمی انعطاف‌پذیر به منظور مشارکت افراد ذی‌نفع و ذی‌نفوذ و نیز پایش اثرها.

طباطبایی (۱۳۹۲) در مقاله‌ای مدیریت شهری – زیست محیطی تهران را در ۳ دوره قاجار، پهلوی، و انقلاب اسلامی بررسی کرده است. او برای کار خود از روش SWOT استفاده کرده و نتایج تحقیق او بیان‌گر این است که سیاست‌های اجتماعی شهر تهران به‌طور

کامل در راستای سیاست‌های زیست‌محیطی قرار نگرفته است و همین امر پایداری زیست‌محیطی تهران را به تعویق می‌اندازد.

جعفریان و همکاران (۱۳۹۳) در مقاله خود الگویی را استخراج کرده‌اند که الگوی معرفی شده در مقاله آن‌ها از اهداف سند توقف کامل تخریب سرزمین اقتباس شده است. این سند به‌طور خاص الگوی جامعی را برای استقرار مدیریت پایدار سرزمین و نیز احیای اراضی تخریب‌یافته معرفی کرده و به معرفی عواملی پرداخته است که برای تعمیم نتایج حاصل از مدیریت پایدار سرزمین به کار گرفته می‌شوند.

یو و همکاران (۲۰۱۱) در مقاله‌ای به بررسی روند دهساله شاخص آводگی هوا برای شهر لانژو چین پرداختند. آن‌ها برای بازسازی فضای فاز پارامترهای بعد نشانده و زمان تأخیر را به ترتیب با روش‌های کائو و تابع اطلاعات متقابل بدست آوردند ($m = 11, \tau = 3$). بزرگ‌ترین نمای لیپانوف محاسبه شده مثبت بوده، یعنی شاخص آводگی هوا روندی آشوب‌ناک داشته و مقدار بعد هم بستگی (بعد جاذب) برابر $3/49$ بوده و این یعنی عوامل اصیل دخیل در روند انتشار آلاینده‌های شهر لانژو ۴ مورد بوده است.

لی و لین (۲۰۰۸) در مقاله‌ای به بررسی آشوب‌ناک‌بودن سری‌های زمانی انتشار آلاینده‌های هوا پرداختند. آن‌ها در مقاله خود هر ۵ آلاینده ($NO, NO_2, SO_2, PM_{10}, CO$) را بررسی کردند و پارامترهای نمای لیپانوف، بعد هم بستگی، و آنتروپی کولموگروف را برای این آلاینده‌ها محاسبه کردند. نتایج آن‌ها نشان‌دهنده آشوب‌ناکی این سری‌های زمانی برای هر ۵ آلاینده از منظر هر ۳ پارامتر موردمحاسبه بوده است.

مشیری و فروتن (۲۰۰۴) در مطالعه‌ای به بررسی وجود آشوب در سری زمانی قیمت آتی نفت خام (NYMEX) برای بازه زمانی ۴ اپریل ۱۹۸۳ تا ۱۳ ژانویه ۲۰۰۳ پرداختند. آن‌ها برای کشف ساختار غیرخطی و آشوب‌ناک از بعد محاط، آزمون BDS، آزمون بزرگ‌ترین نمای لیپانوف، و آزمون شبکه‌های عصبی بهره بردن. نتایج نشان‌دهنده وجود رفتار آشوبی در سری زمانی موردمطالعه بود و شبکه عصبی مصنوعی (ANN) نیز در پیش‌بینی عملکرد پذیرفتی ای داشت.

سالینی و پرز (۲۰۱۵) در مقاله خود به بررسی آشوب‌ناکی آلاینده ذرات کمتر از $2/5$ میکرون ($PM_{2.5}$) در شهر سانتیاگو شیلی پرداختند. بازه زمانی موردمطالعه آن‌ها سال‌های ۲۰۰۶-۲۰۰۰ بود. نتایج آن‌ها نشان‌دهنده وجود آشوب و مقدار بزرگ‌ترین نمای لیپانوف بین $0/3$ و $0/5$ بوده است.

اسپینوسا و گوریگویتا (۲۰۱۲) در پژوهشی به بررسی پایداری کشورهای حوزهٔ یورو در مقابل بحران مالی سال ۲۰۰۷ پرداختند. آن‌ها این پایداری را با محاسبهٔ بزرگ‌ترین نمای لیپانوف طی ۵ سال انجام دادند و برای داده‌های «Credit Default Swap/CDS» و نتایج آن‌ها نشان‌دهندهٔ اقدامات مناسب و به‌موقع آلمان در مقابل این بحران‌ها بود و کوچک‌ترین نمای لیپانوف برای آلمان و به‌تبع آن پایدارترین اقتصاد هم برای آن کشور بوده است.

رجیانی و همکاران (۲۰۰۲) در مقالهٔ خود به بررسی تابآوری آلمان غربی در حوزهٔ بازار کار پرداختند. آن‌ها برای این منظور از نمای لیپانوف بهره‌بردند. نتایج آن‌ها نشان‌دهندهٔ پایداری کم صنایع تولیدی (مصرفی) و ساختمان‌سازی در مقایسه با سایر بخش‌ها بود.

۴. روش پژوهش

۱.۴ بزرگ‌ترین نمای لیپانوف

آزمون توان لیپانوف براساس این ویژگی سری‌های آشوبی است که نقاط مجاور در این سری‌ها به مرور زمان از هم جدا و نسبت به هم واگرا می‌شوند. توان لیپانوف این واگرایی را به‌وسیلهٔ یک تابع نمایی اندازه‌گیری می‌کند. محاسبهٔ توان لیپانوف از طریق اندازه‌گیری مقدار کشیدگی یا خمیدگی، که در حرکت سیستم رخ می‌دهد، انجام می‌شود. درواقع، در این روش سرعت متوسطی که مسیرهای انتقالی دونقطه‌ای که در ابتدا به هم نزدیک بوده‌اند به‌طور نمایی از یکدیگر منحرف می‌شوند محاسبه می‌شود. اگر بزرگ‌ترین توان محاسبه‌شدهٔ لیپانوف مقدار مثبتی داشته باشد، سیستم دارای رفتار آشوبی است و به عکس (مشیری، ۱۳۸۱). ماکسیمم نمای لیپانوف یکی از مهم‌ترین معیارهای تشخیص پایداری و یا عدم پایداری سیستمی پویاست. شرط لازم برای آن‌که یک سیستم پویا آشوبی باشد آن است که ماکسیمم توان لیپانوف مثبت باشد (مشیری و فروتن، ۱۳۸۳، ۲۰۰۷).

اگرچه یکی از ویژگی‌های مهم سیستم‌های پویا حساسیت آن‌ها به شرایط اولیه است، تعیین کمی میزان این حساسیت کار ساده‌ای نیست. نمای لیپانوف یکی از ابزارهایی است که به این منظور به کار می‌رود. نمای لیپانوف به همان سبک و سیاق محاسبهٔ مقادیر ویژه (eigen values) سیستم‌های پویا محاسبه می‌شود و تاحدودی از نظر مفهوم به آن نزدیک است. مقادیر ویژه معمولاً در یک نقطه در فضای حالت، نظیر نقطهٔ تعادل، محاسبه می‌شوند، حال آن‌که

نمای لیاپانوف متوسط‌گیری هندسی در مسیر پایدار سیستم است. برخلاف مقادیر ویژه، که می‌تواند مختلط نیز باشد، نمای لیاپانوف همواره عددی حقیقی است. نظری مقادیر ویژه تعداد نمای لیاپانوف با بعد سیستم برابر است (معینی و همکاران، ۱۳۸۵).

نمای لیاپانوف متوسط نمای فرایندی دینامیک است که نرخ واگرایی یا هم‌گرایی مسیرهای حالت را در فضای فاز نشان می‌دهد. واگرایی مسیر حالت نشان‌دهنده آن است که سیستمی با تفاوت‌های جزئی در شرایط اولیه با گذشت زمان دارای مسیرهای حالتی بسیار متفاوت با هم می‌شود و قابلیت پیش‌بینی در این گونه فرایندها به سرعت از بین می‌رود. طبق تعریف، هر سیستم با داشتن حداقل یک نمای لیاپانوف مثبت سیستمی آشوب‌گونه خوانده می‌شود. عکس اندازه نمای مربوط متناسب با زمانی است که بعد از آن زمان فرایند دینامیک غیرقابل پیش‌بینی خواهد شد (Takens, 1981). برای سیستم‌هایی که معادلات حرکت آن‌ها مشخص و شناخته شده است، روش سرراستی برای محاسبه نماهای لیاپونف آن وجود دارد (Wolf et al., 1985; Kaplan and Yorke, 1979). این روش برای سری‌های زمانی استفاده نمی‌شود.

λ می‌تواند مقادیر مثبت، منفی، و صفر را به شرح زیر اختیار کند:

۱. اگر $0 < \lambda$ باشد، آن‌گاه یک نقطه ثابت یا یک چرخه متناوب پایدار خواهیم داشت. به عبارت دیگر، تمام نقاط اولیه انتخابی به سمت یک نقطه ثابت یا چرخه متناوب هم‌گرا خواهند شد، به این سیستم‌ها پایدار مجانب (asymptotic stability) می‌گویند. با افزایش منفی ($-\infty \rightarrow \lambda$) پایداری سیستم افزایش می‌یابد، به طوری که برای $\lambda = -\infty$ یک نقطه ثابت یا یک چرخه متناوب فوق‌پایدار (super stable) وجود دارد.
۲. اگر $0 = \lambda$ باشد، سیستم فقط حول یک نقطه ثابت نوسان می‌کند. در این حالت هر نقطه اولیه انتخابی حول یک چرخه حدی پایدار نوسان می‌کند. این نوع سیستم پایدار لیاپانوف (Lyapunov stability) نام دارد.
۳. اگر $0 > \lambda$ باشد، هیچ نقطه ثابت و یا چرخه متناوب پایداری وجود ندارد. در حقیقت نقاط ناپایدار (unstable) ولی سیستم کران‌دار و آشوب‌ناک است. در این حالت، به دلیل حساسیت بالا به شرایط اولیه مسیرهای نزدیک بهم به سرعت واگرا می‌شوند (معینی و همکاران، ۱۳۸۵).

برای محاسبه بزرگ‌ترین نمای لیاپانوف دو روش وجود دارد: ۱. روش‌هایی براساس ژاکوبین و ۲. روش‌های مستقیم.

۳۶ مطالعه تاب آوری اکوسیستم شهر تهران در برابر آلاینده‌های هوا

روش‌های مبتنی بر ژاکوبین زمانی استفاده می‌شوند که معادلات سیستم‌های دینامیکی شناخته شده باشند (Parlitz, 2016) و برای سری‌های زمانی، که معادلات دینامیکی آن‌ها نامشخص است، از روش‌های مستقیم استفاده می‌شود.

روزن اشتاین و همکارانش در مقاله خود به ۳ مشکل اصلی روش‌های موجود برای محاسبه نمای لیپانوف اشاره می‌کنند: ۱. پاسخ‌های غیرقابل اعتماد برای داده‌های کم، ۲. محاسبات سخت و فشرده، و ۳. نسبتاً دشوار برای پیاده‌سازی. آن‌ها روشنی جدید را برای محاسبه بزرگ ترین نمای لیپانوف ارائه می‌دهند که برای داده‌های با حجم کم است و حساسیت کمتری به نویز دارد. برای مثال الگوریتم ول夫 مستلزم وجود داده‌های زیاد و به نویز حساس است (ملابرگی و همکاران، ۱۳۹۲). کانتز و همکاران (۱۹۹۹) با استفاده از مجموعه برنامه کامپیوتری تیسان (TISEAN) بزرگ ترین نمای لیپانوف را با روش روزن اشتاین محاسبه کردند.

۱۰.۴ روش ول夫

برای محاسبه نمای لیپانوف براساس الگوریتم ول夫، ابتدا ماتریس $m^*(N-m+1)$ بعدی از N داده اسکالر سری زمانی را ایجاد می‌کنیم. از میان این ماتریس تمام جفت‌بردارهای x_i و x_j را، که در رابطه زیر صدق می‌کنند، مشخص می‌کنیم (ابرشمشی و همکاران، ۱۳۸۱):

$$r_0(m; i, j) = |x_i - x_j| < \varepsilon$$

که در آن ε مقدار کوچک مثبت است. با رشد طول زمانی $d_n(m; i, j)$ را به صورت زیر محاسبه می‌کنیم:

$$r_n(m; i, j) = |x_{i+n} - x_{j+n}|$$

سپس میزان واگرایی $(m: i, j)$ ن نقاط نزدیک به هم را در فضای m بعدی به صورت زیر به دست می‌آوریم:

$$d_n(m; i, j) = \frac{r_n}{r_0} = \frac{|x_{i+n} - x_{j+n}|}{|x_i - x_j|} \quad (1)$$

آن‌گاه بزرگ‌ترین نمای لیپانوف λ را از رابطه زیر محاسبه می‌کنیم:

$$\lambda = \lim_{N \rightarrow \infty} \frac{1}{N-n} \sum_{n=0}^{N-1} \log d_n(m; i, j) \quad (2)$$

۲.۱.۴ روش روزن اشتاین

اگر $\{x_1, x_2, x_3, \dots, x_N\}$ یک سری زمانی مورد بررسی با حجم N باشد و به صورت $x_i = [x_i, x_{i+j}, \dots, x_{i+(m-1)j}]^T$ تعریف شود، آنگاه یک ماتریس $X = [X_1, X_2, X_3, \dots, X_M]^T$ است که در آن $M = N - (m-1)j$. اگر کوچکترین فاصله بین نقطه X_j و نزدیکترین همسایگی این نقطه یعنی $d_j(0)$ برابر باشد، در این صورت: $d_j(0) = \min_{x_j} \|X_j - X_{\hat{j}}\|$ ، که در آن $\|\cdot\|$ نرم اقلیدسی است. در این صورت بزرگترین نمای لیپانوف به صورت زیر تعریف می‌شود (مشیری، ۱۳۸۱):

$$\lambda_{\max}(i) = \frac{1}{i \Delta t} \frac{1}{(M-i)} \sum_{j=1}^{M-i} \ln\left(\frac{d_j(i)}{d_j(0)}\right) \quad (3)$$

که در آن Δt فاصله زمانی نمونه مورد مطالعه و $(i)_j$ بیان‌گر کوچکترین فاصله بین X_j و نزدیکترین همسایگی این نقطه بعد از i مرحله زمانی است، یعنی $i \Delta t$ (ملابهرامی و همکاران، ۱۳۹۲).

روزن اشتاین و همکارانش در مقاله خود معادله زیر را به عنوان تعریفی از بزرگترین نمای لیپانوف ارائه می‌دهند:

$$d(t) = C e^{\lambda_1 t}$$

که در آن $d(t)$ میانگین واگرایی در زمان t و C مقدار ثابتی است که میزان فاصله اولیه را نرمال‌سازی می‌کند. با توجه به رابطه بالا فرض می‌کنیم که زامین جفت از نزدیکترین همسایگی‌ها در نمای لیپانوف داده شده تقریباً از هم دور می‌شوند.

$$d_j(i) \approx C_j e^{\lambda_1(i \Delta t)} \quad (4)$$

با گرفتن لگاریتم از دو طرف معادله بالا به رابطه زیر می‌رسیم:

$$\ln d_j(i) \approx \ln C_j + \lambda_1(i \Delta t) \quad (5)$$

معادله بالا نشان‌دهنده مجموعه‌ای از خطوط (برای هر $j=1, 2, \dots, M$) تقریباً موازی است که شیب هر کدام به λ_1 بستگی دارد. حال می‌توان بزرگترین نمای لیپانوف را به وسیله برآشش یک خط با روش حداقل مربعات (LS) بر خط میانگین، که در زیر تعریف شده است، به دست آورد.

$$y(i) = \frac{1}{\Delta t} \langle \ln d_j(i) \rangle \quad (6)$$

که در آن علامت $\langle \rangle$ بیان گر میانگین تمامی مقادیر زاست. بخش کلیدی محاسبات همین پروسه میانگین‌گیری در عبارت بالاست که به ما در محاسبه مقدار دقیق λ در مجموعه‌های نویزدار و با حجم کوچک کمک می‌کند. عبارت C در معادله ۴ عمل نرمال‌سازی را انجام می‌دهد؛ اما همان‌طور که در رابطه ۵ مشاهده می‌شود عمل نرمال‌سازی برای تخمین بزرگ‌ترین نمای لیپانوف ضروری نیست (روزن اشتاین و همکاران، ۱۹۹۳). بهمنظور محاسبه بزرگ‌ترین نمای لیپانوف باید وقفه زمانی τ (time lag) و بعد محاط m (Embedded dimension) را محاسبه کرد و از این مقادیر برای محاسبه بزرگ‌ترین نمای لیپانوف استفاده کرد. برای محاسبه وقفه زمانی روش مناسب‌تر روش میانگین اطلاعات متقابل (AMI) و برای محاسبه بعد محاط روش مناسب‌تر روش کائو (Cao) است. بهمنظور ازین‌بردن تأثیر روندهای ناشی از رفتار فصلی و چرخه‌ای روی بزرگ‌ترین نمای لیپانوف توسط مدل ARMA و تجزیه سری زمانی، روندهای موجود در سری‌های زمانی استخراج و بزرگ‌ترین نمای لیپانوف برای پسماندهای حاصل محاسبه شده است.

۲.۴ وقفه زمانی

به دست‌آوردن برآورده مناسب از زمان تأخیر τ بسیار بالهمیت است. به‌طوری که انتخاب مناسب آن تجزیه و تحلیل داده‌ها را آسان می‌کند. اگر τ در مقایسه با مقیاس زمانی داخلی سیستم بسیار کوچک انتخاب شود، مؤلفه‌های متوالی در بردار تأخیر بهشدت به هم نزدیک و وابسته می‌شوند. بنابراین تمامی بردارهای n در فضای نشانده m بعدی در اطراف محور قطبی در فضا متتمرکز می‌شوند. این پدیده در مطالعات کاسداگلی (Casdagli, 1991) افزونگی نامیده شده است (Kantz and Schreiber, 2004). از طرف‌دیگر، اگر τ بسیار بزرگ باشد، عناصر متوالی تقریباً مستقل‌اند و نقاط ابری بزرگ در m (اعداد حقیقی در بعد m) را پر می‌کنند. در این حالت حتی اگر جاذب واقعی سیستم ساده باشد جاذب بازسازی شده ممکن است بسیار پیچیده باشد (ibid.).

برای تقریب زمان تأخیر معمولاً از دو روش زیر استفاده می‌شود:

۱. میانگین اطلاعات متقابل (AMI) (Average Mutual Information):

۲.تابع خودهم‌بستگی (ACF) (Autocorrelation Function).

۱.۲.۴ تابع خودهم بستگی (ACF)

در روش ACF محلی که در آن اولین مقدار ACF به صفر یا کمتر از مقدار کوچکی (مانند $0/1$ یا $0/2$) می‌رسد برابر زمان تأخیر انتخاب می‌شود (قاهری و همکاران، ۱۳۹۱).

تابع خودهم بستگی وابستگی خطی بین دو سری زمانی را، که با استفاده از زمان تأخیر از هم جدا شده‌اند، نشان می‌دهد. در روش تابع خودهم بستگی زمان تأخیری که در آن مقدار ACF یک مقدار خاص آستانه، که نشان‌دهنده استقلال خطی باشد، به دست آید به منزله زمان تأخیر مناسب انتخاب می‌شود. آستانه توصیه شده عبارت است از اولین مقدار زمان تأخیر که در آن ACF برابر صفر یا در صورتی که خودهم بستگی به‌طور نمایی تقلیل نماید، مقدار کوچکی حدود $\frac{1}{e} = 0.368$ باشد (Kantz and Schreiber, 2004).

۲.۲.۴ میانگین اطلاعات متقابل (AMI)

در روش AMI زمان رخدادن اولین مینیمم در تابع میانگین اطلاعات متقابل به منزله زمان تأخیر مناسب و در روش دوم محلی که در آن اولین مقدار ACF به صفر یا کمتر از مقدار کوچکی (مانند $0/1$ یا $0/2$) می‌رسد برابر زمان تأخیر انتخاب می‌شود (قاهری و همکاران، ۱۳۹۱).

استفاده از روش AMI در مقایسه با روش ACF پرکاربردتر و مناسب‌تر است؛ چراکه روش میانگین اطلاعات متقابل علاوه‌بر هم بستگی خطی هم بستگی و ساختار غیرخطی را به حساب می‌آورد، ولی روش خودهم بستگی فقط هم بستگی خطی داده‌ها را بررسی می‌کند. بنابراین در بررسی سری‌های زمانی غیرخطی استفاده از AMI مناسب‌تر است. این روش را فریزر و سوینی (Fraser and Swinney) در سال ۱۹۸۶ برای انتخاب زمان تأخیر مناسب در تجزیه و تحلیل‌های غیرخطی معرفی کردند.

در روش AMI از تابع میانگین اطلاعات متقابل به منزله تابع هم بستگی غیرخطی برای تعیین زمان تأخیر مناسب استفاده می‌شود؛ به‌نحوی که $(x(t))$ و $(x(t+\tau))$ به میزان کافی از هم مستقل باشند، اما حداقل هم بستگی ممکن را داشته باشند؛ نه به‌شکلی که هیچ ارتباطی با یکدیگر نداشته باشند. بنابراین در روش میانگین اطلاعات متقابل زمان رخدادن اولین مینیمم در تابع میانگین اطلاعات متقابل به منزله زمان تأخیر مناسب انتخاب می‌شود. اطلاعات متقابل برگرفته از تئوری اطلاعات یا آنتروپی شanon (Shannon entropy) است. بدین ترتیب که، با در اختیار داشتن سری مشاهدات $(x(t))$ تابع چگالی احتمال $P(x(t))$

۴۰ مطالعه تابآوری اکوسیستم شهر تهران در برابر آلاینده‌های هوا

محاسبه‌شدنی است. در نتیجه تاب آنتروپی یا تابع اطلاعات ($H(x(t))$) به شکل زیر تعریف می‌شود:

$$H(x(t)) = \left(\sum_{t=1}^N P(x(t)) \right) \log_2 P(x(t)) \quad (7)$$

مفهوم آنتروپی عبارت است از میزان عدم حتمیتی که اندازه‌گیری‌های $x(t)$ بهم راه دارد. به بیان دیگر، نشان‌دهنده مقدار اطلاعاتی است که از اندازه‌گیری‌ها کسب می‌شود. به طوری که اندازه‌گیری‌های با احتمال پایین (دور از انتظار) در مقایسه با اندازه‌گیری‌های محتمل‌تر اطلاعات بیشتری را در اختیار قرار می‌دهند. حال برای محاسبه وابستگی بین $x(t+\tau)$ و $x(t)$ و به عبارتی میزان اطلاعاتی که به طور متقابل از مشاهدات $x(t)$ و $x(t+\tau)$ (که با τ به هم مرتبط می‌شوند) به دست می‌آید، تابع میانگین اطلاعات متقابل (AMI) بین $x(t)$ و $x(t+\tau)$ بدین صورت تعریف می‌شود (Cover and Thomas, 1991).

$$AMI = \sum_{t=1}^N P(x(t), x(t+\tau)) \log_2 \frac{P(x(t), x(t+\tau))}{P(x(t)) P(x(t+\tau))} \quad (8)$$

اندازه‌گیری اطلاعات متقابل دو متغیر نیازمند دانستن تابع چگالی احتمال توأم است. از روش‌های متدالوی برای تخمین این مقدار می‌توان به روش‌های مبتنی بر هیستوگرام اشاره کرد (اسکات، ۱۹۹۲). درنهایت پس از به دست آوردن میانگین اطلاعات متقابل، با رسم نمودار تابع میانگین اطلاعات متقابل به ازای زمان تأخیرهای مختلف اولین کمینه نسبی (حداقل نسبت به نقاط همسایه) نمودار به منزله زمان تأخیر مناسب انتخاب می‌شود^۲ (قره‌باغ و همکاران، ۱۳۹۳).

۳.۴ تعیین بعد محاط

یکی از پارامترهای مهم در بازسازی فضای فاز بعد محاط (embedded dimension) (بعد نشاننده) است. اگر m بزرگ انتخاب شود، به دلیل حرکات ناپایدار در سیستم‌های آشوب‌ناک، ریسک مغلوش‌شدن الگوریتم افزایش خواهد یافت .(Kantz and Schreiber, 2004)

یک سیستم دینامیکی N بعدی را می‌توان با استفاده از N معادله دیفرانسیلی درجه یک با N متغیر ($x_1(t), x_2(t), \dots, x_n(t)$) توصیف کرد. به طوری که تکامل سیستم طی

زمان مشخص شود. به عبارت دیگر، سیستم دینامیکی را می‌توان با استفاده از نمودار فضای حالت، که سیر تکامل سیستم را در چند حالت اولیه نشان می‌دهد، نمایش داد. در نمودار فضای حالت سیر تکامل سیستم با مسیرهای حالت (trajectory) یا مدارهایی نمایش داده می‌شود (قره باغ و همکاران، ۱۳۹۳).

بدین ترتیب، بعد نشانده همان تعداد N معادله دیفرانسیلی درجه یک است که توصیف‌کننده شرایط سیستم در فضای فازی است. برای یافتن حداقل بعد محاط از دو روش استفاده می‌شود:

۱. روش FNN که کنل (Kennel) و همکارانش در سال ۱۹۹۲ معرفی کردند؛
۲. روش Cao که کائو در سال ۱۹۹۷ معرفی کرد و به‌نوعی بهینه‌شده روش FNN است.

۱۰.۴ روش شمارش نزدیکترین همسایگی‌های کاذب (FNN)

یکی از روش‌های متداول تعیین کوچک‌ترین بعد محاط روش نزدیک‌ترین همسایگی محدود یا FNN است. فرض کنید کوچک‌ترین بعد محاط برای سری زمانی $\{s_n\}$ برابر با m_0 باشد. این بدین معنی است که جاذب بازسازی‌شده در فضای تأخیر $-m_0$ - بعدی تصویری یک به یک از جاذب در فضای حالت اصلی است، به‌طوری که ویژگی‌های آن محفوظ بماند. بنابراین همسایگی‌های نقطه‌ای مشخص بر روی همسایگی‌های همان نقطه در فضای تأخیر قرار می‌گیرند. با توجه به این تکرار، ممکن است ساختار جاذب در ابعاد بالاتر به مدت طولانی حفظ نشود و در این حالت نقاط بر روی همسایگی‌های دیگر نقاط تصویر شوند، که آن‌ها را همسایگی‌های کاذب می‌نامند.

ایده الگوریتم بدین صورت است که برای هر نقطه (x_i) در سری زمانی نزدیک‌ترین همسایگی (x_j) آن در فضای m - بعدی جست وجو و فاصله آن دو $(\|x_i - x_j\|)$ محاسبه می‌شود. با تکرار این فرایند آماره زیر محاسبه می‌شود:

$$R_i = \frac{|x_{i+1} - x_{j+1}|}{\|x_i - x_j\|}$$

اگر R_i از آستانه‌ای همچون ϵ تجاوز کند، این نقطه (x_j) به‌منزله نزدیک‌ترین همسایه کاذب مشخص می‌شود (Hegger et al., 1999). برای کاربرد صحیح

این روش لازم است قبلاً مقادیر τ و ϵ برآورد شوند. در عمل رفتار کسری از همسایگی‌های کاذب (در دو بعد همبستگی متوالی) در مقابل مقادیر مختلفی از بعد نشاننده ترسیم شود و در هر بعد که منحنی بر محور افقی مماس شود (به صفر نزدیک شد)، مقدار آن m بهمنزله بعد نشاننده منتخب (حداقل بعد) در نظر گرفته می‌شود (اسلامی و همکاران، ۱۳۹۵).

۲.۳.۴ روش کائو (Cao's method)

یکی از مشکلات اصلی روش FNN برآورد مقدار E بود که باعث شد کائو به بهبود این روش بپردازد و روش میانگین همسایگی‌های محدود (averaged false nearest neighbor) را ارائه دهد که به روش Cao معروف شده است. اساس این روش محاسبه میانگین فواصل بردارهای تأخیر ($E_{1(d)}$) است. نقطه‌ای که در آن ($E_{1(d)}$ به اشباع برسد بهمنزله بعد) محاط در نظر گرفته می‌شود. اما بررسی ($E_{1(d)}$ برای داده‌های تصادفی (stochastic) مناسب نیست و در این داده‌ها ($E_{1(d)}$ به سطح اشباع نخواهد رسید و با افزایش d سیر صعودی خواهد داشت. یکی دیگر از مشکلات دشواربودن تشخیص نقطه‌ای است که ($E_{1(d)}$ با افزایش d در آن به حد اشباع می‌رسد و در داده‌های تصادفی هم (بیشتر در صورت کمبودن حجم نمونه و داده‌ها) ممکن است ($E_{1(d)}$ با وجود تصادفی بودن داده‌ها باز هم به حد اشباع برسد. برای رفع این مشکل کائو ($E_{2(d)}$) را ارائه کرد.

برای هر نقطه بازسازی شده ($x_i(d)$) در فضای d بعدی تعریف می‌شود (کائو، ۱۹۹۷):

$$\alpha(i,d) = \frac{R_i(d+1)}{R_i(d)}$$

که در آن ($R_i(d)$ فاصله بین ($x_i(d)$ و نزدیکترین همسایگی آن $x_{n(i,d)}(d)$ است. ($R_i(d)$ به صورت زیر محاسبه می‌شود:

$$R_i(d) = \|x_i(d) - x_{n(i,d)}(d)\| = \max_{0 \leq k \leq d-1} |x_{i+k\tau} - x_{n(i,d)+k\tau}|$$

و بدین ترتیب ($E(d)$ بهمنزله میانگین تغییرات نسبی فواصل بین دو جفت نقطه همسایه به صورت زیر تعریف می‌شود و مقدار آن فقط به τ و d بستگی دارد:

$$E(d) = \frac{1}{N-d\tau} \sum_{i=1}^{N-d\tau} \alpha(i,d)$$

و داریم:

$$E1(d) = \frac{E(d+1)}{E(d)}$$

و همان‌طور که گفته شد، برای تفکیک سری‌های زمان معین و قطعی (deterministic) از سری‌های زمانی تصادفی، $E2(d)$ ، به قرار زیر ارائه شد:

$$E^*(d) = \frac{1}{N-d\tau} \sum_{i=1}^{N-d\tau} |x_{i+d\tau} - x_{n(i,d)+d\tau}|$$

و $(E^*(d))$ به منزله میانگین تغییرات مطلق فواصل بین دو جفت نقطه همسایه را اندازه‌گیری می‌کند و $E2(d)$ به قرار زیر تعریف می‌شود:

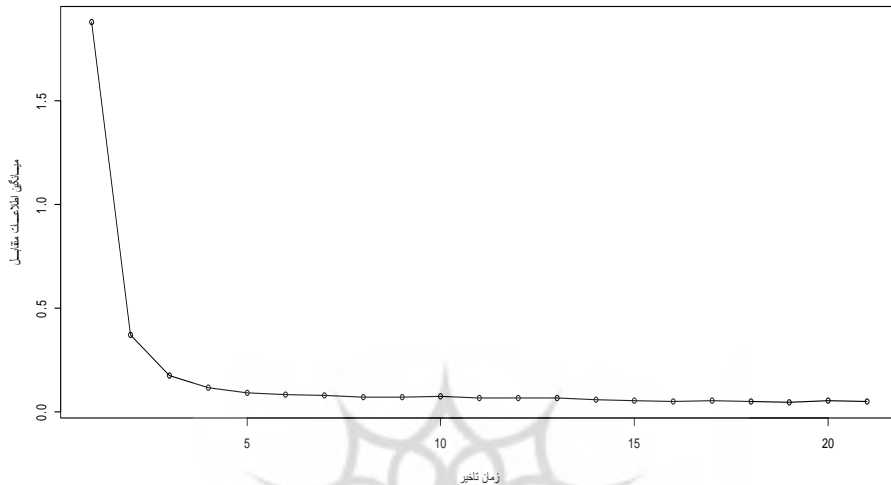
$$E2(d) = \frac{E^*(d+1)}{E^*(d)}$$

با توجه به این‌که در داده‌های تصادفی مقادیر آتی و گذشته رابطه‌ای با هم ندارند، پس مقدار $E2(d)$ برای آن‌ها به‌ازای اکثر مقادیر d مساوی با ۱ خواهد بود و برای سری‌های زمانی معین مقدار $E2(d)$ به مقدار d مربوط خواهد بود و برای همه مقادیر یکسان و برابر نخواهد بود و مقادیری از d وجود خواهند داشت که در آن‌ها $E2(d) \neq 1$ می‌شود. نقطه‌ای که از آن به بعد $E2(d)$ و $E1(d)$ به سطح اشباع برسند و بر هم منطبق شوند، بعد محاط مناسب انتخاب می‌شود. روش کائو برخی نارسایی‌های روش FNN را برطرف کرد، از جمله نیاز به داده‌های زیاد، امکان نبود کاربرد در داده‌های مربوط به سیستم‌های با بعد بالا (پیچیده)، ناتوانی تفکیک سری‌های نویزدار و معین، و امکان حساسیت به مقدار شعاع انتخابی.

۵. یافته‌های تحقیق

بدین ترتیب وقفه زمانی متناسب با روش میانگین اطلاعات متقابل و بعد محاط با روش کائو محاسبه شده‌اند و پس از آن بزرگ‌ترین نمای لیپانوف با دو روش ول夫 و روزن اشتاین محاسبه شده است. مقادیر به دست‌آمده برای وقفه زمانی برابر ۸ و برای بعد محاط ۱۰ است ($\tau = 8, m = 10$).

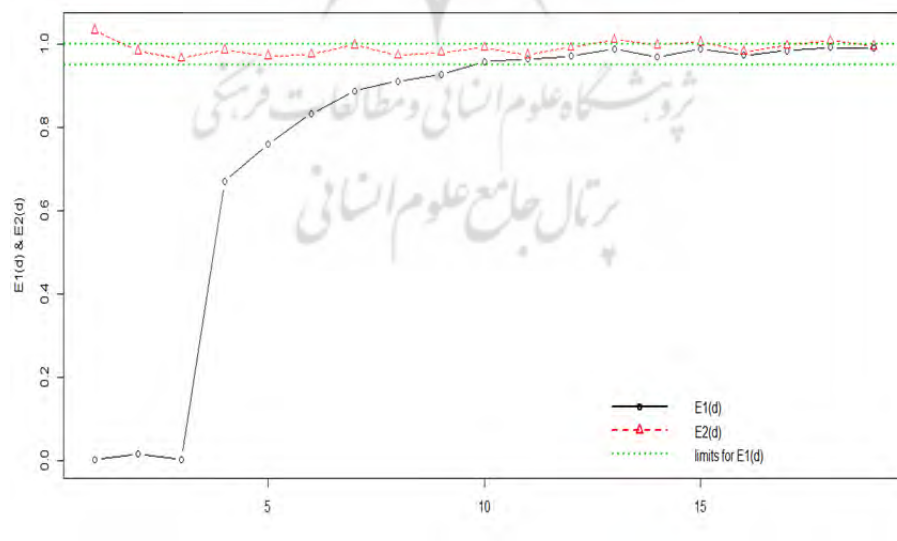
۴۴ مطالعه تاب آوری اکوسیستم شهر تهران در برابر آلاینده‌های هوا



شکل ۷. وقفه زمانی محاسبه شده با روش AMI

مأخذ: یافته‌های تحقیق

شکل زیر نشان‌دهنده بعد محاط محاسبه شده برای شاخص کیفیت هوای تهران با روش Cao است. نقطه‌ای که (1) به اشباع می‌رسد بعد محاط انتخاب می‌کنیم.



شکل ۸. بعد محاط محاسبه شده با روش Cao

مأخذ: یافته‌های تحقیق

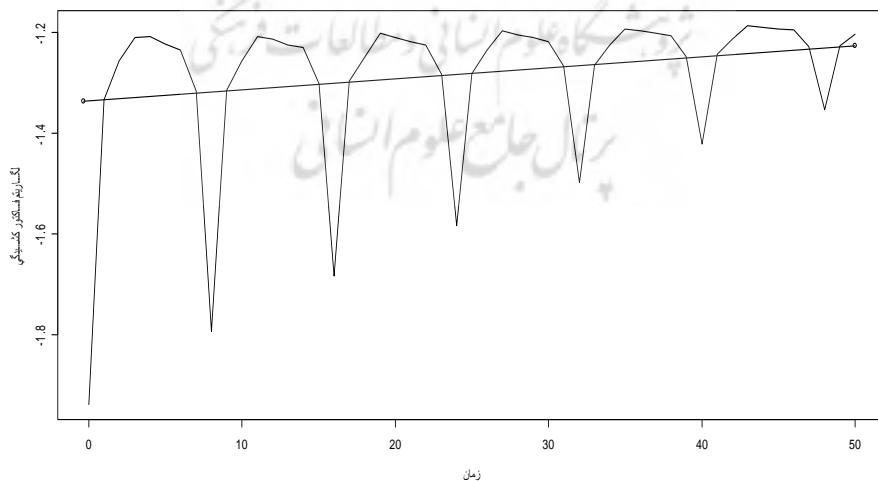
پس از محاسبه وقفه زمانی و بعد محاط بزرگ‌ترین نمای لیاپانوف را محاسبه کرده‌ایم. محاسبات بعد محاط، وقفه زمانی، و نمای لیاپانوف با روش روزن اشتاین در نرم‌افزار R صورت گرفته و محاسبه نمای لیاپانوف با روش ول夫 در نرم‌افزار MATLAB انجام شده است.

جدول ۲. بزرگ‌ترین نمای لیاپانوف شاخص AQI، محاسبه شده با روش ول夫

بزرگ‌ترین نمای لیاپانوف	بعد محاط
0.0015	M=1
0.0056	M=2
0.0013	M=3
0.0013	M=4
0.0004	M=5
0.0009	M=6
0.0001	M=7
0.0001	M=8
0.0006	M=9
0.0006	M=10

مأخذ: یافته‌های تحقیق

در زیر شکل و مقادیر مربوط به محاسبه بزرگ‌ترین نمای لیاپانوف با روش روزن اشتاین آورده شده است.



شکل ۹. محاسبه بزرگ‌ترین نمای لیاپانوف با روش روزن اشتاین
مأخذ: یافته‌های تحقیق

۴۶ مطالعه تاب آوری اکوسیستم شهر تهران در برابر آلاینده‌های هوا

شیب خط برآذش شده به منظور محاسبه بزرگ‌ترین نمای لیپانوف در جدول ۳ آورده شده است.

جدول ۳. محاسبه بزرگ‌ترین نمای لیپانوف با روش روزن اشتاین

λ_{max}	زمان تأخیر τ	بعد محاط بهینه m	آلاینده
۰/۰۰۳۱۵	۸	۱۰	AQI

مأخذ: یافته‌های تحقیق

برای حصول از درست‌بودن نتایج مقدار بزرگ‌ترین نمای لیپانوف برای پسماندها و قسمت روند (بخش ۱.۱) محاسبه شد.

جدول ۴. محاسبه بزرگ‌ترین نمای لیپانوف بر روی پسماندهای مدل ARMA(4,1)

بزرگ‌ترین نمای لیپانوف محاسبه شد بر روی پسماند
ARMA(4,1)
۰/۰۰۵۰۱

مأخذ: یافته‌های تحقیق

جدول ۵ نیز نشان‌دهنده مقدار بزرگ‌ترین نمای لیپانوف محاسبه شده برای بخش روند و پسماند حاصل از تجزیه سری زمانی شاخص کیفیت هوای شهر تهران است.

جدول ۵. محاسبه بزرگ‌ترین نمای لیپانوف برای بخش روند و پسماند (تصادفی)

سری زمانی	بزرگ‌ترین نمای لیپانوف
trend	۰/۰۰۰۲۵۸
random	۰/۰۰۲۱۷

مأخذ: یافته‌های تحقیق

۶. نتیجه‌گیری

به منظور محاسبه بزرگ‌ترین نمای لیپانوف نیاز به محاسبه، وقفه زمانی، و بعد محاط است. برای محاسبه وقفه زمانی عموماً از دو روش ۱. تابع خودهم‌بستگی ACF و ۲.

تابع میانگین اطلاعات متقابل AMI استفاده می‌شود که روش AMI بهدلیل توجه کردن به ساختار غیرخطی در مدل‌های غیرخطی مناسب‌تر است. برای محاسبه بعد محاط نیز از دو روش ۱. شمارش نزدیک‌ترین همسایگی کاذب و ۲. روش Cao استفاده می‌شود که روش کائو بهدلیل حساسیت کم‌تر به نویز داده‌ها و امکان استفاده با داده‌های کم مناسب‌تر است. برای محاسبه بزرگ‌ترین نمای لیپانوف نیز از روش روزن اشتاین استفاده شد که از روش ول夫 معتبر‌تر است. مقدار عددی بزرگ‌ترین نمای لیپانوف برای سری زمانی شاخص کیفیت هوای تهران برای بازه زمانی ۵ ساله مورد مطالعه برابر با 0.0315 ± 0 به دست آمد و مقدار نمای لیپانوف محاسبه شده برای پسمندهای حاصل نیز همگی مثبت بودند و جداسازی روندهای فصلی و خطی نیز اثری بر این مثبت‌بودن نداشته است. با توجه به مثبت‌بودن بزرگ‌ترین نمای لیپانوف (و آشوب‌ناک بودن سری زمانی شاخص کیفیت هوای تهران) می‌توان گفت که اکوسیستم تهران در برابر آلاینده‌های هوای آن وارد می‌شوند، تاب آور (تاب آوری مهندسی) نیست و این بدین معنی است که در صورت وارد‌آمدن یک شوک از سمت منابع انتشاردهنده آلاینده‌ها وضعیت آلودگی هوای تهران بدتر خواهد شد و اکوسیستم تهران برای ارائه خدمات اکوسیستمی (مثل هوای پاک) دچار اختلال خواهد شد. این امر لزوم توجه هر چه بیش‌تر به عوامل تضعیف‌کننده اکوسیستم تهران را نشان می‌دهد. رشد و توسعه اقتصادی امری مطلوب برای هر کشور و هر شهری است، اما توجه نکردن به ظرفیت‌های اکوسیستم منطقه و یا تضعیف و تخریب منابع زیست محیطی می‌تواند پیامدهای ناگواری را درپی داشته باشد و مفهوم رفاه و مطلوبیت ناشی از رشد و توسعه را به کام مردم و شهروندان تلخ کند. مدیران شهری و تصمیم‌گیران اقتصادی تهران باید به بحث تاب آوری اکوسیستم این شهر در برابر آلاینده‌های هوای توجه کنند و این مهم را در تصمیمات خود دخیل گردد.

پی‌نوشت‌ها

۱. از طرف دیگر، بزرگ‌ترین نمای لیپانوف یکی از مهم‌ترین آزمون‌های کشف آشوب در سری‌های زمانی است، برای مطالعه بیش‌تر \rightarrow مشیری، ۱۳۸۱.
۲. برای بخش AMI از مقاله قره‌باغ، رضایی، و محمدنژاد با عنوان «مقایسه فضای حالت بازسازی‌شده و آشوب‌ناکی جریان رودخانه نازل‌لوچای در مقیاس‌های زمانی مختلف» بیش از بقیه منابع استفاده شده است.

کتاب‌نامه

ابریشمی، حمید، علی معینی، و مهدی احراری (۱۳۸۱). «آزمون ناخطي معین برای قیمت‌های آتی نفت»، فصلنامه پژوهش‌های اقتصادی ایران، دانشکده اقتصاد علامه طباطبائی، ش ۱۰.

اسلامی، امیر، بیژن قهرمان، علی ضیایی، و پیمان اسلامی (۱۳۹۵). «تأثیر کاهش نوفه در تحلیل پویایی غیرخطی سری زمانی دمای حداکثر روزانه در ایستگاه کرمان»، س ۱۲، ش ۱.

بخشی خانیکی، غلامرضا. آلودگی محیط زیست، دانشگاه پیام نور،

<http://www.mohitesabs.blogsky.com/category/cat-76>

پریور، پرستو، شهرزاد فریادی، احمد رضا یاوری، اسماعیل صالحی، و پگاه هراتی (۱۳۹۲). «بسط راهبردهای پایداری اکولوژیک برای افزایش تاب آوری محیط زیست شهری (نمونه موردی: مناطق ۱ و ۳ شهرداری تهران)»، محیط‌شناسی، ش ۱۳۲.

پریور، پرستو، شهرزاد فریادی، اسماعیل صالحی، احمد رضا یاوری، احمد ستوده (۱۳۹۱). «بسط چهارچوب ارزیابی راهبردی محیط زیستی طرح‌های توسعه شهری براساس تفکر تاب آوری»، نامه معماری و شهرسازی، ش ۱۱.

جعفریان، وحید، علی‌اکبر دماوندی، و محمدرضا یزدانی (۱۳۹۳). «مفهوم تاب آوری و ارتباط آن با مدیریت پایدار سازمین»، دومین همایش ملی بیابان با رویکرد مدیریت مناطق خشک و کویری. روشن، غلامرضا، فرامرز خوش‌الخلاق، سعید نگهبان، جعفر میرتوکلی (۱۳۸۸). «تأثیر آلودگی هوا بر نوسانات اقلیمی شهر تهران»، علوم محیطی، س ۷، ش ۱.

شرکت کترل کیفیت هوای تهران (۱۳۹۰). گزارش کیفیت هوای شهر تهران، سال، ۱۳۹۰.

شرکت کترل کیفیت هوای تهران (۱۳۹۱). گزارش کیفیت هوای شهر تهران، سال، ۱۳۹۱.

شرکت کترل کیفیت هوای تهران (۱۳۹۲). گزارش کیفیت هوای شهر تهران، سال، ۱۳۹۲.

شرکت کترل کیفیت هوای تهران (۱۳۹۳). گزارش کیفیت هوای شهر تهران، سال، ۱۳۹۳.

شرکت کترل کیفیت هوای تهران (۱۳۹۴). گزارش کیفیت هوای شهر تهران، سال، ۱۳۹۴.

طباطبائی، شیما (۱۳۹۲). «بررسی مدیریت شهری - زیستمحیطی تهران در طی ۳ دوره تاریخی قاجار، پهلوی، انقلاب اسلامی»، سپهر، دوره بیست و دوم، ش ۸۸

قاهری، عباس، محمدعلی قربانی، هادی دل‌افروز، و لیلا ملکانی (۱۳۹۱). «ارزیابی جریان رودخانه با

استفاده از نظریه آشوب»، پژوهش آب ایران، ش ۱۰.

قره‌باغ، ثمین، حسین رضایی، و بایرامعلی محمدنژاد (۱۳۹۳). «مقایسه فضای حالت بازسازی شده و آشوب‌ناکی جریان رودخانه نازل‌لوچای در مقیاس‌های زمانی مختلف»، پژوهش‌های حفاظت آب و
خاک، جلد بیست و دوم (۵).

معینی، علی، حمید ابریشمی، و مهدی احراری (آذر و دی ۱۳۸۵). «به‌کارگیری نمای لیپانوف برای مدل‌سازی سری زمانی قیمت آتی نفت بر پایه توابع پویا»، فصلنامه تحقیقات اقتصادی دانشکده اقتصاد تهران، ش ۷۶.

- مشیری، سعید و فایزه فروتن (۱۳۸۳). «آزمون آشوب و پیش‌بینی قیمت آتی نفت خام»، *فصلنامه پژوهش‌های اقتصادی ایران*، جلد چهارم (۲۱).
- مشیری، سعید و حبیب مروت (۱۳۸۴). «بررسی وجود فرایند آشوبی در شاخص بازدهی کل قیمت سهام بازار بورس تهران»، *پژوهش‌های اقتصادی ایران*، دوره هفتم (۲۵).
- مشیری، سعید (۱۳۸۱). «مروری بر نظریه‌های آشوب و کاربردهای آن در اقتصاد»، *فصلنامه پژوهش‌های اقتصادی ایران*، دوره چهارم، ش. ۱۲.
- معینی، علی، حمید ابریشمی، و مهدی احراری (۱۳۸۵). «به کارگیری نمای لیپانوف برای مدل‌سازی سری زمانی قیمت نفت خام بر پایه توابع پویا»، *تحقیقات اقتصادی*، ش. ۷۶.
- ملابهرامی، احمد، حسن خداویسی، و رضا حسینی (۱۳۹۲). «پیش‌بینی تورم بر پایه معادلات دیفرانسیل تصادفی با مدل‌های رقیب»، *فصلنامه پژوهش‌های اقتصادی*، ش. ۱.
- rstemi، محمدرضا، فرزانه باقی نیری، و جواد قاسمی (۱۳۹۰). «بررسی رفتار قیمت سهام شرکت‌های پذیرفته شده در بورس اوراق بهادار تهران با استفاده از تئوری آشوب»، *نشریه مهندسی مالی و مدیریت اوراق بهادار*، ش. ۷.

- Aura Reggiani, Thomas DE GraaffF and Peter Nijkamp (2002). "Resilience: An Evolutionary Approach to Spatial Economic Systems", *Networks and Spatial Economics*, 2.
- Bengtsson, J., P. Angelstam, T. Elmqvist, U. Emanuelsson, C. Folke, M. Ihse, F. Moberg, and M. Nystrom (2003). "Reserves, resilience & dynamic landscapes", *Ambio* 32(6).
- Bo Yu, Chengmin Huang, Zuhuan Liu, Haipeng Wang, Lili Wang (2011). "A chaotic analysis on air pollution index change over past 10 years in Lanzhou, northwest China", *Stoch Environ Res Risk Assess*, Vol. 25.
- Chappelka, H. and S. Pan (2007). "Influence of ozone pollution and climate variability on net primary productivity and carbon storage in China's grassland ecosystems from 1961 to 2000", *Environmental Pollution*, 149.
- Carpenter S., Walker B., Anderies J. M., Abel N. (2001). "From metaphor to measurement: resilience of what to what?", *Ecosystems*, 4.
- Christian E. Espinosa, Juan Gorigoitía (2012). Stability of sovereign risk in the Eurozone through the Lyapunov Exponent. Universidad diego portales, working paper.
- Chung-Kung Lee, Shu-Chen Lin (2008). "Chaos in Air Pollutant Concentration (APC) Time Series. Lee and Lin", *Aerosol and Air Quality Research*, Vol. 8, No. 4.
- Cover, T. M. and Thomas, J. A. (1991). *Elements of Information Theory*, John Wiley & Sons, Inc, New York.
- Desjardins E, Barker B, Lindo Z. (2015). "Promoting Resilience", *The Quarterly Review of Biology*, Vol. 90, No. 2
- Fraser A. M, Swinney HL. (1986). "Independent coordinates for strange attractors from mutual information", *Phys Rev A*, 33.
- Graedel, T.E. and P.J. Crutzen (1993). *Atmospheric change: an earth system perspective*, New York: Freeman Company press.

۵۰ مطالعه تاب آوری اکوسیستم شهر تهران در برابر آلینده‌های هوا

- Giovanni A. Salini, Patricio Pérez (2015). "A Study of the Dynamic Behaviour of Fine Particulate Matter in Santiago, Chile", *Aerosol and Air Quality Research*, 15.
- Greenham T, E. Cox, and J. Ryan (2013). *Mapping Economic Resilience*, Published 2013 by Friends Provident Foundation Tower House Fishergate. nef 2013
- Holling, C. S. (1992). "Cross-Scale Morphology Geometry and Dynamics of Ecosystems", *Ecological Monographs*, 62.
- Holling C. S. (1996). "Engineering resilience versus ecological resilience", in *Engineering within Ecological Constraints*, edited by P. Schulze. Washington (DC): National Academy Press.
- Kaplan, J and J. Yorke (1979). *Chaotic behavior of multidimensional difference equations*. Springer, Heidelberg-New York
- Kantz, Holger and Thomas Schreiber. (2004). *Nonlinear Time Series Analysis*, Cambridge University Press.
- Liao, K. H. et al. (2012). "A theory on urban resilience to floods—a basis for alternative planning practices", *Ecology and Society*, 17:48.
- Moshiri S and F. Foroutan (2004). Testing for deterministic chaos in futures crude oil price; Does neural network lead to better forecast?, Canadian Economics Association.
- Perrings, C. (1994). Ecological Resilience in the Sustainability of Economic Development" International Symposium on "Models of Sustainable Development, Paris, Vol. II.
- Perrings, C. (2006). "Resilience and sustainable development", *Environment and Development Economics*, 11.
- Parlitz, Ulrich (2016). Estimating Lyapunov Exponents from Time Series.first chapter: "Chaos Detection and Predictability", Springer Berlin Heidelberg.
- Pimm, S. L. (1984). "The Complexity and Stability of Ecosystems", *Nature* 307.
- Perrings, C. (1998). "Resilience in the Dynamics of Economy-Environment Systems", *Environmental and Resource Economics* 11.
- Rainer Hegger, Holger Kantz, and Thomas Schreiber (1999). "Practical implementation of nonlinear time series methods: The TISEAN package", *Chaos* (Woodbury, N.Y.) 9(2).
- M. T. Rosenstein, J. J. Collins, and C. J. De Luca. (1993). "A practical method for calculating largest Lyapunov exponents from small data sets", *Physica D* 65.
- Takens, F. (1981). "Detecting strange attractors in turbulence", In: Rand, D. A., Young, L.S. (Eds.), *Dynamical Systems and Turbulence*, Lecture Notes in Mathematics 898.
- Walker B., C. S. Holling, S. R. Carpenter, and A. Kinzig (2004). Resilience, adaptability and transformability in social-ecological systems, *Ecology and Society*, 9:5.
- Webb, C.T. and S.A. Levin (2005). "Cross-system perspectives on the ecology and evolution of resilience", In E. Jen (ed.), *Robust Design: A Repertoire of Biological, Ecological, and Engineering Case Studies*, SFI Lecture Note Series, Oxford University Press.
- Wolf A., Swift JB, Swinny HL et al. (1985). "Determining Lyapunov exponents from a time series", *Physica D*, 16.